

## ОСОБЕННОСТИ ЧИСЛЕННОГО МОДЕЛИРОВАНИЯ ДИНАМИКИ ЭКСПЕРИМЕНТАЛЬНОЙ ТРОСОВОЙ СИСТЕМЫ С ИСПОЛЬЗОВАНИЕМ ПРОГРАММНЫХ СРЕДСТВ НА ОСНОВЕ ЯЗЫКА PYTHON

*Анотація. Проведено порівняльний аналіз використання пакетів Python(x,y) і MATLAB для дослідження динаміки експериментальної тросової системи. Показано, що в рамках розглянутої задачі обидва пакети є порівнянні за зручністю роботи й можливостям для програмування. Зазначено перспективи використання вільного програмного забезпечення, заснованого на Python, для реалізації різних підходів до моделювання динамічних систем.*

Создание космических тросовых систем (КТС) — систем, состоящих из спутников, соединенных протяженными гибкими нитями — представляется одним из перспективных направлений современной космонавтики [1—3]. Математические модели динамики КТС, как правило, достаточно громоздки. Поэтому верификация компьютерных программ, реализующих эти модели, представляет собой серьезную проблему [4]. Надежность результатов расчетов может быть обеспечена благодаря использованию различных программных средств и различных подходов к моделированию динамики подобных систем.

Рассмотрим систему, состоящую из твердого тела, подвешенного на невесомой упругой нити (рис. 1). Она представляет собой частный случай экспериментальной тросовой системы [5] и может служить для проверки программ расчета динамики последней.

В [6] рассмотрены особенности исследования динамики данной системы с помощью средств численного моделирования (MATLAB), с использованием символьного вывода уравнений движения (Maple), а также физическое моделирование<sup>1</sup> на основе блок-схемы рассматриваемой системы (MapleSim). Поскольку указанные программы являются коммерческими, то их совместное использование может потре-

<sup>1</sup> терм, н, пр, надлежач, й разработч, кам [7].

бовать значительных финансовых затрат. В связи с этим возникает вопрос: существует ли свободное программное обеспечение (ПО), способное заменить коммерческое в данной области расчетов. Для определенности, ограничимся сравнением с MATLAB.

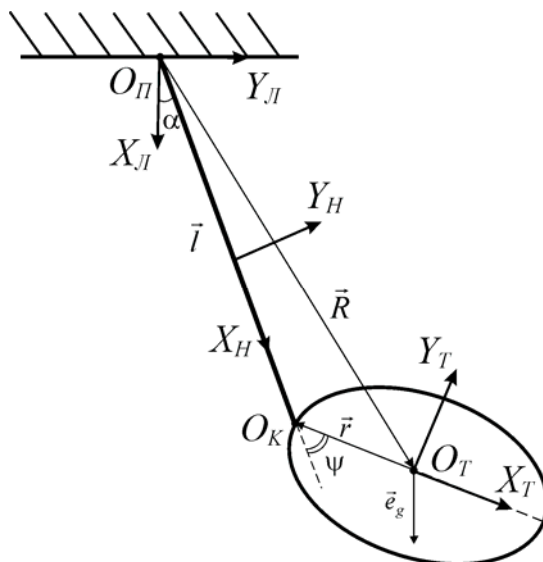


Рисунок 1 – Схема модели

Целью нашей работы является выбор свободного ПО для численного моделирования рассматриваемой системы, и сравнительный анализ особенностей моделирования с помощью данного ПО и MATLAB.

### Математическая модель

Запишем уравнения движения системы, изображенной на рис. 1. Предполагая, что массой нити в сравнении с массой тела можно пренебречь, получим

$$\begin{aligned} m\ddot{\vec{R}} &= \vec{F}_{mp} + mg\vec{e}_g, \\ \dot{\vec{L}} &= \vec{r} \times \vec{F}_{mp}, \end{aligned} \quad (1)$$

где  $m$  — масса тела;  $\vec{R}$  — радиус-вектор центра масс тела (точка  $O_T$ ) относительно точки подвеса нити  $O_П$ ;  $\vec{F}_{mp}$  — сила натяжения нити;  $\vec{e}_g$  — единичный вектор по направлению действия ускорения земного тяготения  $\vec{g}$ ;  $\vec{r} = \overline{O_T O_K}$  (рис. 1);  $\vec{L}$  — кинетический момент движения тела относительно центра масс.

Предположим далее, что упругие свойства нити описываются законом Гука, а рассеивание энергии движения системы происходит за счет вязкого трения в материале нити

$$\vec{F}_{mp} = - \left[ c \frac{\vec{l} (l-d)}{l} + \chi \dot{\vec{l}} \right] \delta, \quad \delta = \begin{cases} 1 & l > d, \\ 0 & l \leq d, \end{cases}$$

где  $\vec{l} = \overrightarrow{O_{II}O_K}$  (рис. 1),  $l = |\vec{l}|$ ,  $\dot{\vec{l}} = (\dot{\vec{l}}, \dot{\vec{l}}) / |\dot{\vec{l}}|$ ;  $d$  — номинальная длина нити;  $c$  — коэффициент жесткости;  $\chi$  — коэффициент демпфирования.

Для описания движения системы введем следующие правые системы координат.

$O_{II}X_l Y_l Z_l$  — лабораторная система координат (ЛСК) с началом в точке подвеса нити  $O_{II}$ . Ось  $O_{II}X_l$  направлена вдоль местной вертикали, ось  $O_{II}Z_l$  — перпендикулярно плоскости наблюдения в сторону наблюдателя, ось  $O_{II}Y_l$  лежит в плоскости наблюдения;

$O_{II}X_n Y_n Z_n$  — система координат, связанная с нитью (СКН) с началом в точке  $O_{II}$  (на рис. 1 начало координат СКН смещено из соображений наглядности). Ось  $O_{II}X_n$  направлена вдоль линии нити, соединяющей точку  $O_{II}$  и точку  $O_K$ , ось  $O_{II}Z_n$  — вдоль мгновенной угловой скорости вращения вектора  $\overrightarrow{O_{II}O_K}$ ;

$O_T X_T Y_T Z_T$  — система координат, связанная с телом (СКТ) с началом в центре масс тела  $O_T$ . Оси СКТ направлены по главным центральным осям инерции тела.

Взаимная ориентация систем координат описывается следующим образом:  $O_{II}X_n Y_n Z_n$  и  $O_T X_T Y_T Z_T$  — углами Крылова  $\phi, \theta, \psi$ , соответственно углами крена, тангажа и рысканья;  $O_{II}X_l Y_l Z_l$  и  $O_{II}X_n Y_n Z_n$  — углами  $\alpha, \beta$  (рис. 2) и радиусом-вектором  $\vec{l} = \overrightarrow{O_{II}O_K}$  (рис. 1).

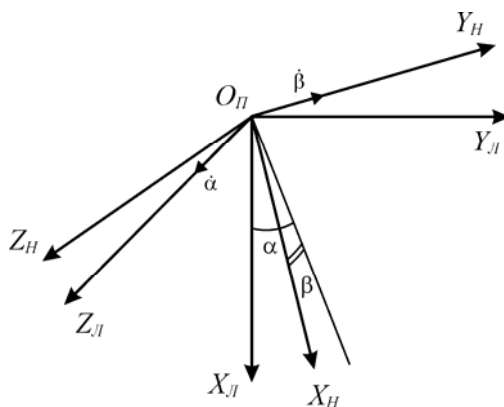


Рисунок 2 — Взаимная ориентация осей ЛСК и СКН

Матрицы перехода между системами координат:

$$A_{лн} = \begin{pmatrix} \cos \alpha \cos \beta & -\sin \alpha & \cos \alpha \sin \beta \\ \sin \alpha \cos \beta & \cos \alpha & \sin \alpha \sin \beta \\ -\sin \beta & 0 & \cos \beta \end{pmatrix},$$

$$A_{нм} = \begin{pmatrix} \cos \theta \cos \psi & -\cos \theta \sin \psi & \sin \theta \\ \sin \phi \sin \theta \cos \psi + \cos \phi \sin \psi & -\sin \phi \sin \theta \sin \psi + \cos \phi \cos \psi & -\sin \phi \cos \theta \\ -\cos \phi \sin \theta \cos \psi + \sin \phi \sin \psi & \cos \phi \sin \theta \sin \psi + \sin \phi \cos \psi & \cos \phi \cos \theta \end{pmatrix}.$$

Кинематические уравнения, связывающие производные углов  $\alpha, \beta$  по времени с проекциями вектора угловой скорости  $\bar{\omega}_H$  движения СКН относительно ЛСК на оси СКН имеют вид

$$\dot{\alpha} = -\frac{\bar{\omega}_H(1)}{\cos \beta}, \quad (2)$$

$$\dot{\beta} = \bar{\omega}_H(2).$$

Кинематические уравнения, связывающие производные углов Крылова  $\phi, \theta, \psi$  по времени с проекциями вектора угловой скорости  $\bar{\omega}_T$  движения СКТ относительно ЛСК на оси СКТ:

$$\begin{pmatrix} \dot{\phi} \\ \dot{\theta} \\ \dot{\psi} \end{pmatrix} = \frac{1}{\cos \theta} \begin{pmatrix} \cos \psi & -\sin \psi & 0 \\ \cos \theta \sin \psi & \cos \theta \cos \psi & 0 \\ -\sin \theta \cos \psi & \sin \theta \sin \psi & \cos \theta \end{pmatrix} \bar{\omega}_T. \quad (3)$$

Уравнения движения тела (1) и кинематические уравнения (2, 3) образуют замкнутую систему уравнений 1-го порядка с 12 неизвестными.

### Выбор программных средств

Ориентируясь на MATLAB как по возможностям (векторизация кода, наличие необходимых библиотек), так и по удобству использования (простота овладения языком, наличие документации, среды разработки, отладчика, профилировщика), естественно рассмотреть его ближайшие аналоги — пакеты GNU Octave [8] и Scilab [9].

Несмотря на то, что отдельные тесты [10] показывают некоторое преимущество Octave по скорости вычислений в сравнении с MATLAB, Octave в целом производит впечатление пакета, находящегося в стадии разработки. Документация пакета скудна, а по сообщениям об ошибках зачастую трудно определить вызвавшие их причины. Собственная среда разработки отсутствует, а визуализация графиков происходит с помощью gnuplot.

В пакете Scilab имеется собственная среда разработки, поддерживается большое число библиотек для численных расчетов (Lapack, LINPACK, ODEPACK, Atlas и др.). В состав пакета также входит Scicos — инструмент для редактирования блочных диаграмм и симуляции (аналог Simulink). Существует литература на русском языке (например, [11]).

Однако оба пакета, что называется, «движутся в колее» MATLAB, не предлагая пользователю каких-либо оригинальных решений.

Возможен другой подход: использование языка программирования общего назначения, снабженного необходимыми библиотеками. Среди таких языков в научных вычислениях вплоть до недавнего времени широко использовались C/C++ и Fortran. Однако в последние годы в этом качестве все чаще используется Python [12, 13]. Достаточно сказать, что в рейтинге популярности языков программирования от 12.2011 Python занимает 8-е место (тогда как MATLAB — 22-е, а Fortran — 28-е) [14].

Для работы, кроме собственно Python (в комплект входят также средства отладки и профилирования), понадобится среда разработки (например, Spyder), а также библиотеки для научных расчетов NumPy (работа с массивами), Scipy (решение дифференциальных уравнений), графическая библиотека Matplotlib и консоль IPython. Все это ПО есть в открытом доступе, как по отдельности, так и в виде готовых сборок.

Среди последних обращает на себя внимание Python(x,y) [15, 16] — комплект из более чем 60 библиотек, который обновляется примерно раз в месяц. Среди библиотек, помимо перечисленных выше: SymPy — выполнение символьных расчетов, PP — параллельные вычисления, Qt — создание графических пользовательских интерфейсов, OpenCV — обработка изображений и компьютерное зрение. Именно эту сборку мы использовали в дальнейшей работе.

### **Особенности программной реализации**

Основой расчетных программ на обоих языках является процедура численного интегрирования уравнений движения (рис. 3).

Одним из достоинств MATLAB является возможность векторизации кода, т. е. выполнения операций над массивом в целом, без ис-

пользования циклов. Такая возможность для Python реализована в библиотеке Numpy [17].

В Python, в отличие от MATLAB, необходимо в явном виде импортировать требуемые функции из библиотек. Так, использованию функций Numpy в коде предшествует строка

```
from numpy import *
```

позволяющая использовать все функции Numpy в основной программе.



Рисунок 3 — блок-схема программы расчета динамики системы

В табл. 1 приведены соответствия функций MATLAB и Numpy. Заметим, что индексация массивов в Python начинается с 0, а не с 1, как это принято в MATLAB.

Таблица 1

MATLAB	Numpy	Комментарии
[ 1 2 3; 4 5 6 ]	array([[1.,2.,3.], [4.,5.,6.]])	матрица размерности 2x3
a(2,5)	a[1,4]	элемент второй строки и пятого столбца
a(1:5,:)	a[0:5,:]	первые пять строк a
a'	a.T	транспонирование a
a * b	dot(a,b)	умножение матриц
1:10	arange(1.,11.)	создание диапазона значений от 1 до 10 с шагом 1
[a; b]	concatenate((a,b))	конкатенация строк a и b
A\b	linalg.solve(a,b)	решение системы $Ax = b$

Более подробно сравнение реализаций операций над массивами в Numpy и MATLAB приведено на странице «NumPy for Matlab Users» [18]. Краткое введение в Numpy на русском языке приведено в [19].

Численное интегрирование системы ОДУ осуществляется с помощью функции `integrate.odeint` библиотеки Scipy [20]. Импорт этой функции осуществляется строкой

```
from scipy import integrate
```

Некоторые из функций-решателей ОДУ в MATLAB и их аналоги из Scipy приведены в табл. 2.

Таблица 2

MATLAB	Scipy	Метод интегрирования
ode113	<code>integrate.odeint</code>	Адамса
ode45	<code>scipy.integrate.ode(f).set_integrator('dopri5')</code>	Рунге-Кутта порядка 4 и 5, основанный на модификации Дормана-Принса <sup>2</sup>

Рисование графика выполнялось с помощью библиотеки Matplotlib [21]. Строка кода, в которой задается возможность обращения к функциям Matplotlib через префикс `p`, имеет вид:

```
import matplotlib.pyplot as p
```

API Matplotlib специально разработан так, чтобы походить на API MATLAB. Фрагменты кода, отвечающие за построение графика с нанесением координатной сетки, приведены в табл. 3.

Таблица 3

MATLAB	Matplotlib
<code>plot(t,x)</code>	<code>p.plot(t,x)</code>
<code>grid on</code>	<code>p.grid()</code>
	<code>p.show()</code>

Полный текст программ находится по адресу [22].

### Результаты расчетов

Расчеты проводились при следующих значениях параметров системы:  $m = 1$  кг; моменты инерции тела  $J_x = J_y = J_z = 1$  кг·м<sup>2</sup>;  $d = 1$  м;  $c = 100$  Н;  $\chi = 0$ ;  $\vec{r} = [-0,1; 0; 0]$  (проекция  $\vec{r}$  на оси СКТ).

<sup>2</sup>В программе не используется.

Численное интегрирование проводилось методом Адамса на промежутке времени  $[0, 50]$  с.

Исследовались зависимости углов  $\alpha$  (рис. 1) и  $\psi$ , а также длины нити  $l$  от времени. Результаты расчетов, выполненных в Python, приведены на рис. 4—6 ( $l(0) = 1$  м,  $\alpha(0) = 10^\circ$ ,  $\psi(0) = 0^\circ$ ).

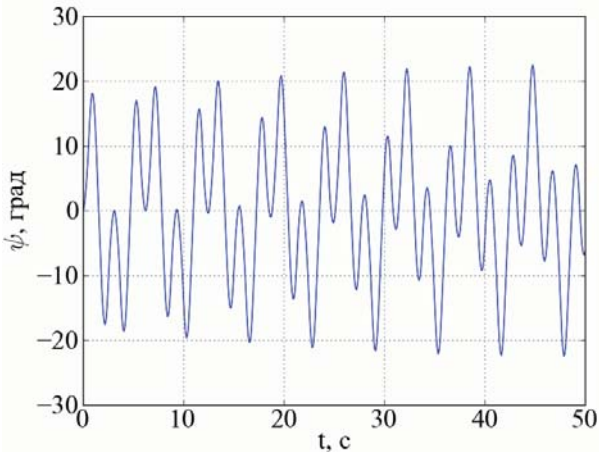


Рисунок 4 — График изменения угла  $\psi$  со временем

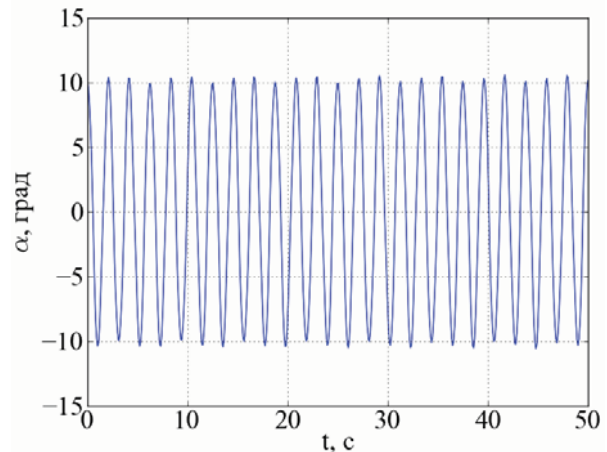


Рисунок 5 — График изменения угла  $\alpha$  со временем

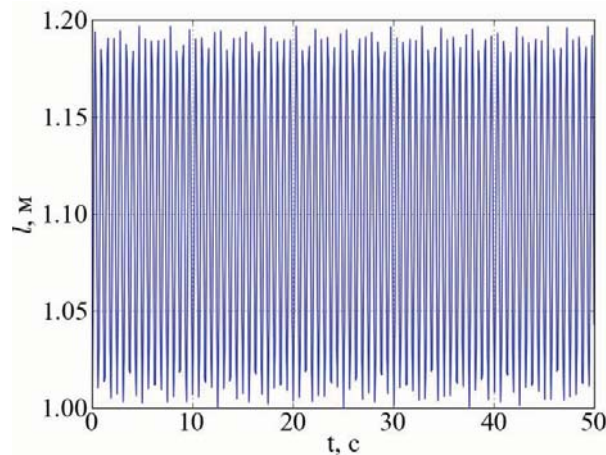


Рисунок 6 — График изменения длины нити  $l$  со временем

На рис. 7 приведен график изменения во времени модуля разности расчетных значений угла  $\psi$ , полученных в MATLAB и Python (соответствующие графики для  $\alpha$  и  $l$  аналогичны приведенному на рис. 7).

Разница расчетных значений, по-видимому, связана с тем, что пакеты реализуют различные варианты метода Адамса [23]. Так, в MATLAB решатель ode113 основан на методе Адамса-Башфорта-Моултона (Adams-Bashforth-Moulton PECE), тогда как функция



integrate.odeint в Skyru использует решатель Lsoda из FORTRAN-библиотеки Odepack.

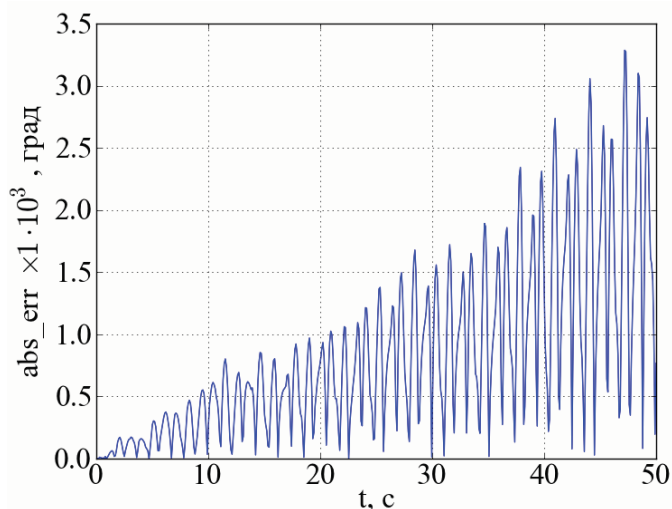


Рисунок 7 — График изменения во времени модуля разности расчетных значений угла  $\psi$ , полученных в MATLAB и Python

В таблице 4 приведены результаты тестирования скорости расчетов MATLAB и Python при различном числе точек внутри промежутка интегрирования.

Таблица 4

Время рас- чета, с	Число точек				
	50	500	5000	50 000	500 000
MATLAB	1,09	1,11	1,28	2,58	16,9
Python	4,90	4,68	4,73	6,3-	6,09

Для тестирования использовался компьютер с процессором Intel Core 2 Duo 2.33 ГГц, 2 Гб DDR 2 ОЗУ, Windows XP SP 3 32-bit. Использовались MATLAB v7.11.0.584 (R2010b) и Python(x,y) 2.7.2.1. Тест был выполнен в консольном режиме, результаты усреднены 10 раз.

Результаты тестирования показывают некоторое преимущество MATLAB в скорости расчетов. Следует, однако, отметить, что при этом не предпринималось каких-либо специальных мер по оптимизации Python-программы. В то же время результаты других тестов, в частности, [24], показывают, что такие меры могут привести к существенному росту производительности. В частности, использование Cython [25] (такая возможность есть в Python(x,y)), что влечет за собой незначительную переделку программы, позволяет добиться быстрого действия, сравнимого с программами, написанными на C++.

**Выводы и перспективы использования**

Сравнение Python(x,y) с MATLAB показало, что в рамках рассмотренной задачи оба пакета обладают сопоставимыми возможностями для программирования и удобством работы. Наличие обширной документации и литературы на русском языке позволяют быстро освоить Python. Существенно и то, что данное ПО никак не связано с MATLAB, и в своем развитии опирается на активное и быстро растущее сообщество Python-программистов.

Использование свободного ПО, основанного на Python, представляется перспективным и для реализации других подходов к моделированию динамических систем, рассмотренных в [5]. Так, SymPy [26] — Python-библиотека для символьных вычислений — уже сейчас обладает возможностями, сравнимыми с Symbolic Math Toolbox MATLAB. Заявленной же целью разработчиков является создание полнофункциональной системы компьютерной алгебры. Система компьютерной алгебры Sage [27], использующая в качестве встроенного языка Python, помимо символьных вычислений позволяет подготавливать научно-техническую документацию с использованием редактора формул и в перспективе может заменить такие пакеты как Maple и Mathematica. JModelica.org [28] — программное средство для моделирования сложных динамических систем, основанное как и Maple-Sim на языке Modelica, использует Python в качестве языка сценариев.

**ЛИТЕРАТУРА**

1. Белецкий В. В. Динамика космических тросовых систем / В. В. Белецкий, Е. М. Левин. — М. : Наука, 1990. — 329 с.
2. Lorenzini E. C. Tethers in Space Handbook / E. C. Lorenzini, M. L. Cosmo. — 3rd edition. — Smithsonian Astrophysical Observatory, 1997. — 241 p. ([Электронный ресурс] — Режим доступа : <http://www.tethers.com/papers/TethersInSpace.pdf>)
3. Levin E. M. Dynamic analysis of space tether missions / E. M. Levin. — San Diego: American Astronautical Society, 2007. — 453 p.
4. Храмов Д. А. Использование пакета символьных вычислений Maple для моделирования динамики космической тросовой системы со сферическим шарниром // Системные технологии. — 2004. — № 3 (32) — с. 110–116. ([Электронный ресурс] — Режим доступа : [http://dkhramov.dp.ua/uploads/Sci/TSGS/ST\\_khramov\\_maple.tif](http://dkhramov.dp.ua/uploads/Sci/TSGS/ST_khramov_maple.tif))
5. Волошенко О. Л., Пироженко А. В. Модель процессов стабилизации движения концевых тел вращающейся космической тросовой системы в наземных экспериментах // Техническая механика. — 2010 — № 3, с. 106–116.
6. Храмов Д. А. Особенности моделирования динамики экспериментальной тросовой системы современными компьютерными программами // Техническая механика. — 2011. — № 3, с. 91–102. ([Электронный ресурс] — Режим доступа :

- <http://dkhramov.dp.ua/uploads/Sci/HomePage/dkhramov.doc>)
7. High-Performance Physical Modeling and Simulation [Электронный ресурс] : веб-страница. — Режим доступа : <http://www.maplesoft.com/products/maplesim/>
  8. Octave [Электронный ресурс] : веб-сайт. — Режим доступа : <http://www.gnu.org/software/octave/>
  9. Scilab [Электронный ресурс] : веб-сайт. — Режим доступа : <http://www.scilab.org/>
  10. Тестирование быстродействия MATLAB и GNU/Octave [Электронный ресурс] : веб-страница. — Режим доступа : <http://mydebianblog.blogspot.com/2010/10/matlab-gnuoctave.html>
  11. Алексеев Е. Р. Scilab: Решение инженерных и математических задач / Е. Р. Алексеев, Е. А. Чеснокова, Е. А. Рудченко. — М. : ALT Linux ; Бином. Лаборатория знаний, 2008. — 260 с. ([Электронный ресурс] — Режим доступа : <http://www.altlinux.org/Books:Altlibrary/scilab>)
  12. Langtangen H. P. Python Scripting for Computational Science / H. P. Langtangen. — 3rd Edition — Berlin, Heidelberg : Springer, 2009. — 750 p.
  13. Бизли Д. Python. Подробный справочник / Д. Бизли — СПб. : Символ-Плюс, 2010. — 864 с.
  14. TIОBE Programming Community Index for December 2011 [Электронный ресурс] : веб-страница. — Режим доступа : <http://www.tiobe.com/index.php/content/paperinfo/tpci/index.html>
  15. Pythonху [Электронный ресурс] : веб-сайт. — Режим доступа : <http://code.google.com/p/pythonху/>
  16. Python(x, y) [Электронный ресурс] : веб-страница. — Режим доступа : <http://habrahabr.ru/blogs/python/113065/>
  17. NumPy [Электронный ресурс] : веб-сайт. — Режим доступа : <http://numpy.scipy.org/>
  18. NumPy for Matlab Users [Электронный ресурс] : веб-страница. — Режим доступа : [http://www.scipy.org/NumPy\\_for\\_Matlab\\_Users](http://www.scipy.org/NumPy_for_Matlab_Users)
  19. NumPy, пособие для новичков. Часть 1 [Электронный ресурс] : веб-страница. — Режим доступа : <http://habrahabr.ru/blogs/python/121031/>
  20. SciPy [Электронный ресурс] : веб-сайт. — Режим доступа : <http://www.scipy.org/>
  21. Matplotlib [Электронный ресурс] : веб-сайт. — Режим доступа : <http://matplotlib.sourceforge.net/>
  22. Dkhramov.dp.ua [Электронный ресурс]. — Режим доступа : <http://dkhramov.dp.ua/uploads/Sci/HomePage/tb.rar>
  23. Шампайн Л. Ф. Решение обыкновенных дифференциальных уравнений с использованием MATLAB / Л. Ф. Шампайн, И. Гладвел, С. Томпсон. — СПб. : Издательство «Лань», 2009. — 304 с.
  24. PerformancePython [Электронный ресурс] : веб-страница. — Режим доступа : <http://www.scipy.org/PerformancePython>
  25. Cython: C-Extensions for Python [Электронный ресурс] : веб-сайт. — Режим доступа : <http://cython.org/>
  26. SymPy [Электронный ресурс] : веб-сайт. — Режим доступа : <http://sympy.org/>
  27. Sage [Электронный ресурс] : веб-сайт. — Режим доступа : <http://www.sagemath.org/>
  28. JModelica.org [Электронный ресурс] : веб-сайт. — Режим доступа : <http://www.jmodelica.org/>